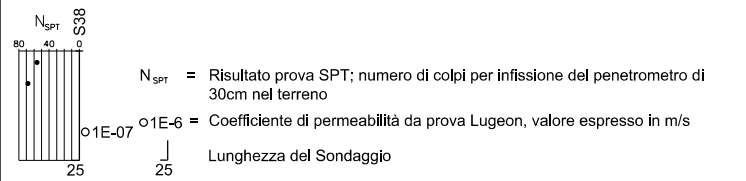


LEGENDA

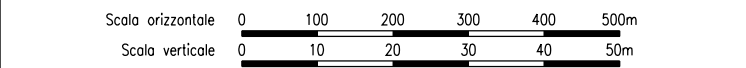
- DATI STRADALI:**
- INDAGINI:
 - S31 Sondaggio geognostico a carotaggio
 - S33Pz Sondaggio geognostico a carotaggio strumentato con piezometro
 - P40a Pozzetto esplorativo
 - TS48 Traversa sismica a rifrazione, interpretazione con metodo reciproco
 - M.1 Prosezioni sismiche MASW
 - T1 Traversa sismica a rifrazione, interpretazione tomografica
 - ST1 Stazione di rilievo geostrutturale
- GEOLOGIA:**
- Dta Copertura detritica costituita prevalentemente da limi e argille di colore bruno con inclusi eterometrici di natura diversa. (Olocene)
 - Dtb Copertura detritica costituita da prevalenti blocchi calcarei frammisti ad una matrice limo-argillosa di colore rossastro. (Olocene)
 - Al Depositi alluvionali attuali e recenti costituiti da sabbie, ghiaie e blocchi eterometrici arrotondati. (Olocene)
 - Calc Calcareni giallastre a stratificazione poco evidente con scarsi resti di molluschi ed alghe calcaree. (Pleistocene inferiore-medio)
 - Te Formazione Tellerio - Marne, marne argillose e calcari marnosi di colore variabile dal giallastro al grigiastro. (Miocene medio-superiore)
 - Ra Formazione Ragusa - Calcari, Calcareni e calciruditi grigio - biancastri in banchi di spessore variabile con intercalati livelli marno-sabbiosi. (Oligo-Miocene)
- Asse di piega (anticlinale)**
- Faglia rilevata (le frecce indicano il movimento relativo tra i due lembi)
 - Faglia presunta (le frecce indicano il movimento relativo tra i due lembi)
- Superficie piezometrica**
- Misura al piezometro**
- Linea di falda**

PROVE IN SITU:

Per ogni sondaggio, laddove disponibili, sono riportati i risultati delle prove di permeabilità Lugeon e penetrometriche SPT. Il grafico associato alla colonna del sondaggio riporta il numero di colpi N_{SPT} ottenuto alle diverse profondità di indagine, e localmente il valore di permeabilità K dell'ammasso roccioso derivante dalle prove Lugeon.



- NOTE:**
- Il profilo presentato in queste tavole percorre l'intero tracciato in direzione Siracusa-Gela;
 - L'ubicazione di Siracusa e Gela nella pianta chiave è puramente indicativa.
 - Gli indici RMR89 riportati nella finca fanno riferimento ad ammassi rocciosi in condizioni asciutte, senza tener conto dell'orientamento delle discontinuità in relazione alla direzione di avanzamento;
 - Il profilo in questione non riporta la caratterizzazione delle zone di faglia, che verrà esplicitata negli elaborati di dettaglio per le singole opere.



PROFLO		QUOTE TERRENO	181.82	175.11	182.10	176.44	182.97	183.72	184.42	182.12	186.11	197.15	187.80	198.48	189.46	192.73	191.17	198.94	192.86	198.45	194.54	199.04	196.23	200.09	202.23	200.24	205.64	199.77	203.12	198.67	201.15	196.95	200.64	194.96	200.37	192.89	200.78	191.35	201.00	189.78	198.00	188.22	198.42
QUOTE PROGETTO		181.82	175.11	182.10	176.44	182.97	183.72	184.42	182.12	186.11	197.15	187.80	198.48	189.46	192.73	191.17	198.94	192.86	198.45	194.54	199.04	196.23	200.09	202.23	200.24	205.64	199.77	203.12	198.67	201.15	196.95	200.64	194.96	200.37	192.89	200.78	191.35	201.00	189.78	198.00	188.22	198.42	
CHILOMETRICHE																									5500.00					6000.00					6500.00					6962.60			
DISTANZE PROGRESSIVE																									5500.00					6000.00					6500.00					6962.60			
COPERTURA (m) (DA LIVELLETTA)																									-					5-10					-								
GEOLOGIA		F. RAGUSA																																									
LITOLOGIA		PREVALENTE CALCARENITE GRIGIASTRE BEN STRATIFICATE CON INTERCALATI LIVELLI CALCAREO-MARNOSI, GIACITURA SUB-ORIZZONTALE																																									
DESCRIZIONE DELLE FORMAZIONI																																											
INDICI DI CARATTERIZZAZIONE DELL'AMMASSO ROCCIOSO		RMR 89 di base	47																																								
		CSI	42																																								
		PESO DI VOLUME (kN/m^3)	23																																								
		PARAMETRO DI DANNEGGIAMENTO	0																																								
		PARAMETRI RESIST. A COMPRESIONE (MPa)	35																																								
		ROCCIA INTATTA	m_i																																								
		INVILUPPO DI ROTTURA	10																																								
PARAMETRI DI RESISTENZA DELL'AMMASSO ROCCIOSO		RESISTENZA A COMPRESIONE AMMASSO (MPa)	1.4																																								
		RESISTENZA A TRAZIONE AMMASSO (MPa)	0.04																																								
		INDICE m_p	1.26																																								
		INDICE s_p	1.6e-3																																								
		INDICE m_r	0.88																																								
		INDICE s_r	6.4e-5																																								
PARAMETRI DI RESISTENZA DELL'AMMASSO ROCCIOSO		COESIONE DI PICCO (MPa)	c_p	0.2																																							
		COESIONE NON DRENATA c_u (MPa)	c_u																																								
		ANGOLO D'ATTRITO DI PICCO (α)	ϕ_p	59																																							
		COESIONE RESIDUA (MPa)	c_r	0.1																																							
		ANGOLO D'ATTRITO RESIDUO (α)	ϕ_r	58																																							
		COESIONE DI PICCO (MPa)	c_p	0.15																																							
		ANGOLO D'ATTRITO DI PICCO (α)	ϕ_p	67																																							
		COESIONE RESIDUA (MPa)	c_r	0.02																																							
		ANGOLO D'ATTRITO RESIDUO (α)	ϕ_r	67																																							
PARAMETRI DI DEFORMABILITA'		MODULO ELASTICO (MPa)	E	4700																																							
		COEFFICIENTE DI POISSON (-)	ν	0.2																																							
		PERMEABILITA' K (m/s)		1E-7																																							

DATA	DICEMBRE 2011	PROGETTAZIONE	F. BUSOLA		
CODICE CAD-FILE	EA1811T00GG00GETF004A.dwg	IL RESPONSABILE	DOIT. ING. F. BUSOLA		
OPERA PROTETTA AI SENSI DELLA LEGGE 22 APRILE 1941 N. 633 TUTTI I DIRITTI RISERVATI					
QUALSIASI RIPRODUZIONE ED UTILIZZAZIONE NON AUTORIZZATE SARANNO PERSEGUITE A RIGORE DI LEGGE					